

технология. – 2012. – № 2. – С. 26–37.

23. Лобанов И.Е. Общая теория интенсифицированного теплообмена при турбулентном течении в круглых трубах с относительно высокими турбулизаторами с применением четырёхслойной модели турбулентного пограничного слоя // Отраслевые аспек-

ты технических наук. – 2013. – № 10. – С. 7–13.

24. Лобанов И.Е. Четырёхслойная теория интенсифицированного теплообмена для труб с относительно невысокими турбулизаторами потока // Отраслевые аспекты технических наук. – 2013. – № 11. – С. 3–6.

УДК 536.24

Лучко Михаил Вахидович,

*магистрант кафедры химической технологии топлива,
ФГБОУ ВО «Ангарский государственный технический университет»,
e-mail: rikardo644@gmail.com*

Фомина Лариса Валерьевна,
к.х.н., доцент кафедры химии,

*ФГБОУ ВО «Ангарский государственный технический университет», e-mail:
flybaan@mail.ru*

РАСЧЁТ ПОВЕРХНОСТИ ТЕПЛОПЕРЕДАЧИ ВОЗДУШНОГО ТЕПЛООБМЕННИКА В ПРОИЗВОДСТВЕ МЕТИЛ-ТРЕТ-БУТИЛОВОГО ЭФИРА В ЗАВИСИМОСТИ ОТ УГЛА УСТАНОВКИ ЛОПАСТЕЙ ВЕНТИЛЯТОРА

Luchko M.V., Fomina L.V.

CALCULATION OF THE HEAT TRANSFER SURFACE OF THE AIR HEAT EXCHANGER USED IN THE PRODUCTION OF METHYL-TET-BUTYL ETHER DEPENDING ON THE ANGLE OF INSTALLATION OF THE FAN BLADES

Аннотация. Выполнены расчёты требуемой поверхности теплопередачи по оребрению при различных углах установки лопастей вентилятора воздушного теплообменника горизонтального типа, применяемого на этапе охлаждения бутадиеновой фракции в производстве метил-трет-бутилового эфира. Найдено, что для эффективной работы установки подготовки углеводородной фракции в летний период требуется замена действующего аппарата на новый, с иными конструктивными характеристиками.

Ключевые слова: воздушный теплообменник, конструктив, теплопередача, эффективность.

Abstract. Calculations have been made of the required heat transfer surface along the ribbing at different angles of installation of the fan blades of a horizontal air heat exchanger used at the stage of cooling the butadiene fraction in the production of methyl tert-butyl ether. It was found that for the effective operation of the hydrocarbon fraction preparation unit in the summer period, it is necessary to replace the existing apparatus with a new one with different design characteristics.

Keywords: air heat exchanger, constructive, heat transfer, efficiency.

Оксигенаты – общее название низших спиртов и простых эфиров, применяемых в качестве высокооктановых компонентов моторных топлив. Самые распространенные из них – метanol, этанол, метил-трет-бутиловый эфир и этил-трет-бутиловый эфир (МТБЭ и ЭТБЭ) [1]. Содержание МТБЭ в общем бензиновом фонде России не велико (0,5 %). Производство МТБЭ дешевле производства ЭТБЭ из-за высокой стоимости про-

изводства этанола. Добавление МТБЭ к топливу повышает октановое число и препятствует детонации бензина в камере сгорания. Использование МТБЭ значительно снижает содержание оксида углерода, углеводородов и полициклических ароматических соединений в выхлопных газах автомобилей. К достоинствам МТБЭ относятся: отличная смешиваемость с углеводородами; хорошая совместимость с конструкционными и уплот-

нительными материалами; корректировка «октановой ямы»; снижение содержания серы, бензола, олефиновых и ароматических углеводородов за счёт разбавления; дополнительный ненефтяной источник сырья (1 т МТБЭ экономит 2 т нефти).

Установка получения МТБЭ, расположенная на площадке АНХК, состоит из трех секций: секция 100, селективное гидрирование фракции C_4 с АЗП; секция 200, получение МТБЭ; секция 300, гидрирование рафината C_4 . Анализ работы установки получения МТБЭ показал, что неэффективность работы в летний период аппарата воздушного охлаждения АВО 101 на линии (секция 100) подготовки бутадиеновой фракции (БДФ). Расчёт тепловой нагрузки действующего теплообменника с учётом температурного режима в процессе охлаждения углеводородной фракции (УВФ) показал, что необходимая наружная оребрённая поверхность холодильника должна ориентировочно составлять 3324 м^2 [2]. Эта величина на 25 % превышает величину поверхности теплопередачи по оребрению используемого на производстве АВО. В работе [2] выполнен расчёт требуемой поверхности теплообмена на примере горизонтального аппарата воздушного охлаждения типа АВГ с наружной поверхностью по оребрению $F=3500 \text{ м}^2$ для максимальной ($24,3^\circ\text{C}$) и среднесуточной ($17,9^\circ\text{C}$) температур июля 2019 года для Иркутской области [3]. Для температуры воздуха $24,3^\circ\text{C}$ при угле установки лопастей вентилятора $\gamma=17^\circ\text{C}$ требуется, чтобы поверхность теплообмена составляла порядка 2830 м^2 . Это значение больше поверхности действующего АВО 101 на 340 м^2 , а АВГ с поверхностью 3500 м^2 будет иметь запас более 23 %. Для температуры воздуха $17,9^\circ\text{C}$ требуемая поверхность теплопередачи по параметрам АВГ с $F=3500 \text{ м}^2$ получилась равной 2146 м^2 . Поверхность АВО 101 относительно этого значения имеет запас более 13 % [2]. Повысить эффективность работы действующего АВО в жаркие летние дни можно за счёт изменения подачи воздуха регулированием угла γ установки лопастей вентилятора или с помощью жалюзийного устройства, или благодаря установке на теплообменник орошающих водяных устройств. Целью данной работы является анализ работы АВО 101 в зависимости от изменения подачи воздуха регулированием угла установки лопастей вентилятора.

Бутилен-бутадиеновая фракция (ББФ),

фракция C_4) существующими насосами с температурой до 35°C подается с АПЗ на селективное гидрирование в секцию 100 установки МТБЭ [4]. На рисунке 1 приведена технологическая схема секции 100 в производстве МТБЭ на площадке АНХК. Водород технический поступает в сепаратор подпиточного водорода поз. С-101. На выходе из сепаратора поз. С-101 водород технический направляется: для смешения с ББФ в трубопровод перед смесителем реактора гидрирования поз. М-101; на гидрирование рафината фракции C_4 . ББФ насосами поз. Н 1 А/Б подается в емкость поз. Е-102. Из емкости поз. Е-102 насосом поз. Н 101 А/Б ББФ направляется на смешение с водородом техническим в статический смеситель поз. М-101. И далее подается в реактор поз. Р-101, в котором проходит экзотермическая реакция селективного гидрирования ББФ. Во избежание повышения температуры в слое катализатора выше допустимого предела, предусмотрена рециркуляция гидрированной БДФ. Из смесителя поз. М-101 смесь свежей ББФ, поток рециркуляции гидрированной БДФ и растворенный в них водород поступают в верхнюю часть реактора поз. Р-101. Гидрированная БДФ из нижней части реактора поз. Р-101 выводится в емкость рециркуляции поз. Е-103, которая оборудована коалесцером и отстойником. Избыток паров из емкости поз. Е-103 через факельный сепаратор поз. С-001 направляется на факел или в сеть топливного газа. Гидрированная БДФ из нижней части ёмкости поз. Е-103 насосом поз. Н 102 А/Б подается на охлаждение последовательно в воздушный холодильник поз. АВО 101 и водяной холодильник поз. Т 103. Охлажденная гидрированная БДФ поступает в коалесцер поз. Е105, оборудованный отстойником. Вода из отстойника сбрасывается в дренажную ёмкость поз. Е-102. Большая часть гидрированной БДФ из поз. Е-105 возвращается на рециркуляцию в реактор поз. Р-101, оставшее количество потока направляется в качестве сырья в колонну водной промывки поз. К-202 секции 200.

Для оптимизации работы линии подготовки БДФ в летний период необходимо найти техническое решение с минимальными экономическими затратами. В таблице 1 приведены технологические и физико-химические параметры охлаждаемого в АВО 101 горячего теплоносителя.

Таблица 1 – Технологические характеристики горячего теплоносителя (УВФ) [5]

Параметр	Значение
Расход охлаждаемой фракции С ₄ , кг/ч	132497
Температура УВФ на входе/выходе, °C	60/45
Плотность УВФ на входе/выходе, кг/м ³	543,5/ 565,0
Теплопроводность УВФ на входе/выходе, Вт/(м·К)	0,094/ 0,100
Удельная теплоёмкость УВФ на входе/выходе, кДж/(кг·К)	2,519/ 2,439
Вязкость УВФ на входе/выходе, мПа·с	0,097/ 0,111

Проведём расчёт необходимой поверхности теплопередачи в зависимости от угла установки лопастей вентилятора для АВО 101. Действующий горизонтальный аппарат воздушного охлаждения (см. табл. 2) с полной наружной поверхностью $F=2490 \text{ м}^2$ состоит из трех четырёхрядных трубных секций ($n_c=3$) с трубами длиной $L=8 \text{ м}$, внутренним диаметром трубы $d_{BH}=21 \text{ мм}$, коэффициентом оребрения $\varphi=14,6$ и коэффициентом увеличения поверхности $\psi=19,6$. Число труб в секции 82, проходное сечение всех труб одной секции $F_c=0,0284 \text{ м}^2$, число возможных ходов продукта в трубной секции $n_x=4$ [5]. Площадь свободного сечения перед секциями аппарата $F_{CB}=30,0 \text{ м}^2$, коэффициент сужения сечения $\eta_c=0,38$ [6]. Данный аппарат снабжен двумя одинаковыми шестилопастными вентиляторами с пропеллером диаметром $D=2800 \text{ мм}$ и максимальным углом установки лопастей $\gamma=21^\circ$.

Аэродинамическую характеристику вентилятора в сочетании с сопротивлением теплообменных секций действующего в секции 100 АВГ ($\varphi=14,6$) в доступной литературе найти не удалось. Для определения рабочих параметров вентилятора воспользовались рисунком 2 из работы [7, стр. 22], на котором показана аэродинамическая характеристика вентилятора с пропеллером диаметром $D=2800 \text{ мм}$ и частотой вращения 425 об/мин, имеющего 8 лопастей.

На пересечении линии сопротивления АВГ для четырёхрядных секций и кривых аэродинамического напора вентилятора при $\gamma = 15^\circ, 17^\circ, 20^\circ, 23^\circ$ [7, с. 22] находим точки, соответствующие рабочим (отнесенным к стандартным условиям) параметрам, приведённым в таблице 3. Это объёмный расход

воздуха V_{HOM} , давление P_{HOM} , коэффициент полезного действия (КПД) вентилятора. Так как на входе воздуха в вентилятор условия мало отличаются от стандартных (температура воздуха начальная $t_B^H=24,3^\circ\text{C}$, среднее атмосферное давление для Иркутской области летом $P_{ATM}=96,5 \text{ кПа}$), принимаем плотность воздуха $1,2 \text{ кг}/\text{м}^3$ и ведем расчет по номинальным характеристикам вентилятора и использованному ранее алгоритму [2, 6].

Таблица 2 – Технологические параметры действующего АВО 101 [5]

Параметр	Значение
Шифр материального исполнения секции	Б1
Давление расчетное, МПа	6,3
Давление пробное, МПа	9,45
Температура стенки расчетная (при расчетном давлении), °C	100
Минимальная допустимая температура стенки, °C	-50
Объём трубного пространства, м ³	0,96
Число ходов по трубному пространству	4
Поверхность теплопередачи внутренняя, м ²	129
Поверхность теплопередачи по оребрению, м ²	2490
Число труб фактическое за вычетом заглушённых	246
Число рядов труб в секции	4
Диаметр колеса вентилятора, м	2,80
Частота вращения вентилятора, об/мин	428

Предварительно вычисляем массовый расход воздуха G_B от двух вентиляторов и, принимая среднюю теплоёмкость воздуха $c_B=1,005 \text{ кДж}/(\text{кг}\cdot\text{К})$, вычисляем конечную температуру воздуха по формуле:

$$t_B^K = t_B^H + \frac{Q}{c_B \cdot G_B},$$

где Q – нагрузка действующего АВО, равная $8,377 \cdot 10^6 \text{ кДж}/\text{ч}$ [2].

Для вычисления приведённого коэффициента теплоотдачи α_B [6] со стороны воздуха провели расчёт скорости воздуха в самом узком сечении межтрубного пространства при средней его температуре t_B^{cp} и среднем давлении P_{cp} через среднюю плотность p_B^{cp} и средний объёмный расход воздуха V_B^{cp} (см. табл. 3).

Проведём расчёт коэффициента теплоотдачи от горячего теплоносителя. Скорость

горячего продукта на входе в аппарат и средняя скорость теплоносителя в трубах теплообменника составят:

$$w^{ex} = \frac{n_x \cdot V^H}{F_c \cdot n_c} = \frac{4 \cdot 0,0677}{0,0284 \cdot 3} = 3,18 \text{ м/с},$$

$$w^{cp} = \frac{n_x \cdot V^{cp}}{F_c \cdot n_c} = \frac{4 \cdot 0,0664}{0,0284 \cdot 3} = 3,12 \text{ м/с},$$

где V^H – объёмный расход УВФ на входе в аппарат, V^{cp} – средний объёмный расход потока УВФ.

Критерии Рейнольдса и Прантля равны:

$$Re = \frac{w^{cp} \cdot d_{BH}}{\nu_{52,5}} = \frac{3,12 \cdot 0,021}{1,876 \cdot 10^{-7}} = 349253,7 \text{ м/с},$$

$$Pr = \frac{\nu_{52,5} \cdot c_{52,5} \cdot \rho_{52,5}}{\lambda_{52,5}} = \frac{(1,876 \cdot 10^{-7}) \cdot (2,479 \cdot 10^3) \cdot 554,25}{0,097} = 2,66,$$

где физические свойства охлаждаемой среды для средней температуры (52,5 °C) продукта в аппарате приняты как средние арифметические: плотность $\rho_{52,5}=554,25 \text{ кг/м}^3$, удельная теплопёмкость $c_{52,5}=2,479 \text{ кДж/(кг·К)}$, теплопроводность $\lambda_{52,5}=0,097 \text{ Вт/(м·К)}$, кинематическая вязкость $\nu_{52,5}=1,876 \cdot 10^{-7} \text{ м}^2/\text{с}$.

Критерий Нуссельта при турбулентном режиме в этом случае равен [6]:

$$Nu = 0,023 \cdot Re^{0,8} \cdot Pr^{0,3} = 0,023 \cdot 349253,7^{0,8} \cdot 2,66^{0,3} = 838,8.$$

Следовательно, коэффициент теплоотдачи со стороны охлаждаемого потока равен [6]:

$$\alpha = Nu \frac{\lambda_{52,5}}{d_{BH}} = 838,8 \frac{0,097}{0,021} = 3874,5 \text{ Вт/(м}^2 \cdot \text{К}).$$

Определяем коэффициент теплопередачи в зависимости от угла установки лопастей вентилятора (табл. 3). Например, для $\gamma=15^\circ$ получим:

$$K_p = \frac{1}{\frac{\psi}{\alpha} + \frac{\psi}{r_T} + \frac{\psi}{r_{CT}} + \frac{1}{\alpha_B}} = \frac{1}{\frac{19,6}{3874,5} + 19,6 \cdot 0,0002 + 19,6 \cdot 0,63 \cdot 10^{-4} + \frac{1}{51,16}} = 33,6 \text{ Вт/(м}^2 \cdot \text{К}),$$

где $1/r_T=0,0002 \text{ (м}^2 \cdot \text{К)/Вт}$ – тепловое сопротивление со стороны загрязнений, согласно таблице П.19 [6] для органических жидкостей, и $1/r_{CT}=0,63 \cdot 10^{-4} \text{ (м}^2 \cdot \text{К)/Вт}$ – тепловое сопротивление оребрённой алюминием тру-

бы по таблице 16 [6]. Для больших углов установки лопастей вентилятора коэффициенты теплопередачи приведены в таблице 3.

Определение средней разности температур при перекрестном токе теплоносителей ведут с помощью поправочного коэффициента ε [6]:

$$\Delta t_{CP} = \varepsilon \cdot \Delta t_{CP}^{PP},$$

который определяется графически в зависимости от значений вспомогательных величин R и P [6]:

$$R = \frac{t^H - t^K}{t_B^K - t_B^H}, P = \frac{t_B^K - t_B^H}{t^H - t_B^H}.$$

где t_B^K , t_B^H – начальная и конечная температуры воздуха, t^H и t^K – температуры потока УВФ на входе и на выходе из трубы теплообменника.

На рисунке 49 [6] приведен график для определения $\varepsilon_{(n_x=1)}$ при однократном перекрестном токе (один ход продукта). При числе ходов n_x от двух до четырех поправочный коэффициент уточняется (см. табл. 4):

$$\varepsilon = \varepsilon_{(n_x=1)} + \frac{1 - \varepsilon_{(n_x=1)}}{4} \cdot (n_x - 1).$$

В действующем АВО 101 число ходов в трубах равно четырём.

Из результатов выполненного расчёта следует, что поверхность теплопередачи действующего на предприятии АВГ в жаркие июльские дневные часы недостаточна при любом возможном угле установки лопастей вентилятора. Полученные высокие значения поверхностей теплопередачи являются результатом конструктивных особенностей задействованного на производстве АВГ, так как расчёты для аппарата с $F=3500 \text{ м}^2$ при 24,3 °C дали меньшее значение поверхности теплопередачи, равное 2828,6 м^2 , против 3425,4 м^2 для действующего АВГ при угле установки лопастей вентилятора 17 °. Эти сравниваемые теплообменники отличаются количеством труб в секции, числом ходов продукта по трубам секции, коэффициентами оребрения и увеличения поверхности.

Таким образом, для эффективной работы линии подготовки БДФ необходимо провести замену действующего АВО 101 на другой воздушный теплообменник с большим количеством труб и числом ходов теплоносителя по трубам. АВГ с поверхностью 3500 м^2 , как показали ранее выполненные расчёты [2], будет иметь значительный коэффициент запаса поверхности для работы при максимальных температурах июльского воздуха,

но его эксплуатация в таком режиме востребована порядка 5 % рабочего времени. В литературе [6] есть описание АВГ, технические характеристики которого, можно сказать, являются промежуточными между таковыми для действующего АВГ с $F=2490 \text{ м}^2$ и сравниваемого с ним АВГ с $F=3500 \text{ м}^2$. Поверхность третьего теплообменника равна $F=2640 \text{ м}^2$, количество рядов труб в нём 6, максимальное число ходов продукта по тру-

бам $n_x=6$, коэффициенты оребрения и увеличения поверхности совпадают с таковыми для АВГ с $F=3500 \text{ м}^2$ ($\varphi=9$, $\psi=12$). Поэтому в дальнейшем планируется провести расчёт величины поверхности теплопередачи в зависимости от угла установки лопастей вентилятора для АВГ с $F=2640 \text{ м}^2$ для среднесуточных и максимальных июльских температур.

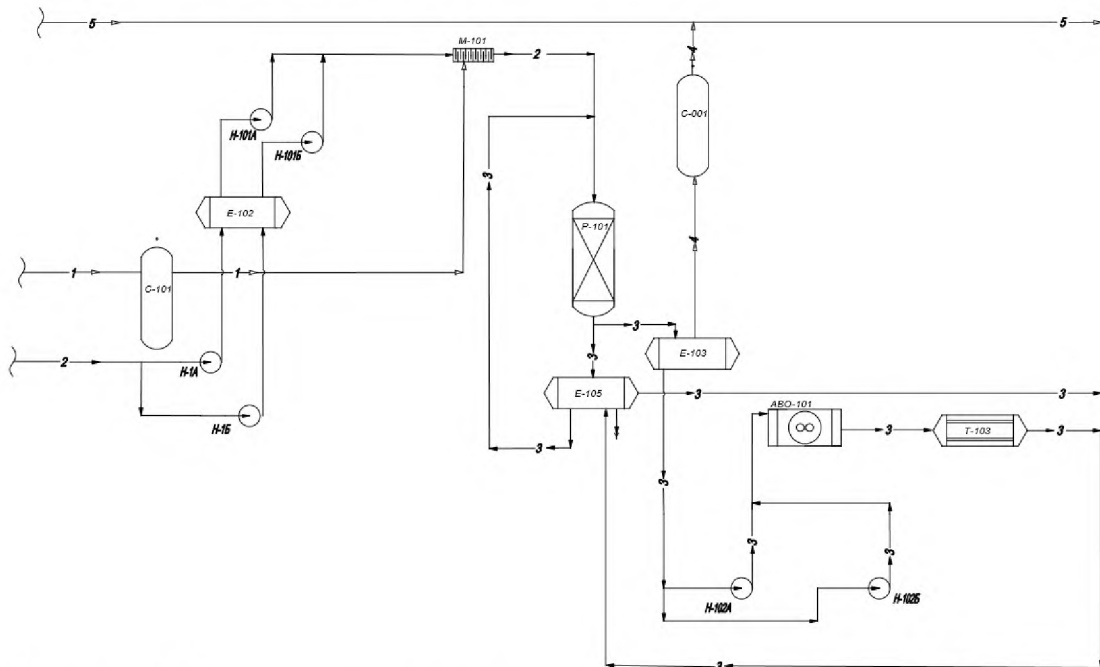


Рисунок 1 – Технологическая схема секции 100 в производстве МТБЭ: 1 – технический водород 2 – БДФ/ББФ; 3 – гидрированная БДФ; 4 – избыток паров; 5 – топливный газ.

Таблица 3 – Характеристики воздушного потока для действующего АВО

Параметр	Значение			
Угол установки лопастей вентилятора, $\gamma, {}^\circ$	15	17	20	23
Объёмный расход воздуха, V_{HOM} , тыс. $\text{м}^3/\text{ч}$	203	217,5	230	248
Давление P_{HOM} , Па	289,3	323,6	372,7	411,9
КПД вентилятора, η	0,67	0,68	0,69	0,68
Массовый расход воздуха от двух вентиляторов, G_B , тыс. кг/ч	487,2	522,0	552,0	595,2
Конечная температура воздуха, $t_B^K, {}^\circ\text{C}$	41,4	40,3	39,4	38,3
Средняя температура воздуха в пределах аппарата, $t_B^{cp}, {}^\circ\text{C}$	32,85	32,30	31,85	31,30
Среднее давление, P^{cp} , кПа	96,64	96,66	96,69	96,71
Средняя плотность воздуха p_B^{cp} , кг/м ³	1,101	1,103	1,105	1,107
Средний объемный расход воздуха, V_B^{cp} , м ³ /с	122,92	131,46	138,76	149,35
Скорость воздуха в самом узком сечении межтрубного пространства, w_B^{y3} , м/с	10,78	11,53	12,17	13,10
Приведенный коэффициент теплоотдачи α_B со стороны воздуха, Вт/(м ² ·К)*	51,16	52,83	54,17	55,99

*Примечание: приведенный коэффициент теплоотдачи a_B со стороны воздуха для аппарата материального исполнения Б1 с коэффициентом оребрения $\varphi=14,6$ рассчитан по формуле [6]:

$$\alpha_B = 56,4 \cdot \lg w_B^{y_3} - 0,035 \cdot t_B^{cp} - 5,93, \text{ Вт}/(\text{м}^2 \cdot \text{К}).$$

Таблица 4 – Параметры процесса теплопередачи для действующего АВО
в зависимости от угла установки лопастей вентилятора

Параметр	Значение			
Угол установки лопастей вентилятора, γ , °	15	17	20	23
Коэффициент теплопередачи, K_p , Вт/(м ² ·К)	33,60	34,31	34,87	35,62
Разность температур между теплоносителями, Δt_{CP}^{IP} , °C	19,65	20,20	20,65	21,20
Вспомогательная величина R	0,88	0,94	0,99	1,07
Вспомогательная величина P	0,48	0,45	0,42	0,39
Поправочный коэффициент, $\varepsilon_{(m=1)}$	0,925	0,930	0,935	0,940
Поправочный коэффициент, $\varepsilon_{(n_k=4)}$	0,981	0,983	0,984	0,985
Средняя разность температур, Δt_{CP} , °C	19,3	19,8	20,3	20,9
Требуемая поверхность охлаждения, $F_{PAC\gamma}$, м ²	3588,4	3425,4	3287,4	3125,8

СПИСОК ЛИТЕРАТУРЫ

- Лебедев Н.Н. Химия и технология основного органического и нефтехимического синтеза: Учебник для вузов. М.: Химия, 1988. 592 с.
- Лучко М.В., Фомина Л.В. Анализ работы воздушного теплообменника, применяемого в производстве метил-трет-бутилового эфира. / Сборник научных трудов Ангарского государственного технического университета. Ангарск: АнГТУ, 2020. С.
- Климат: Ангарск – климатический график, график температуры, климатическая таблица. https://ru.climate-data.org/азия/российская_федерация/иркутская-область/ангарск-1827/ (дата обращения 30.04.2020).
- Спецификация базового проекта производства метил–трет–бутилового эфира, разработанного фирмой «Axens» для ангарского комбината.
- Аппарат воздушного охлаждения. Паспорт. Воронеж: ООО «Грибановский машиностроительный завод», 2010. 222 с.
- Сидягин А.А. Расчёт и проектирование аппаратов воздушного охлаждения. Н.Новгород: Нижегород. гос. техн. ун-т им. Р.Е. Алексеева, 2009. 150 с.
- Методика теплового и аэродинамического расчёта аппаратов воздушного охлаждения. – М.: ВНИИНЕФТЕМАШ, 1971. 106 с.